



Entropía topológica de funciones multimodales

D. González Martínez^{1,*}, G. Blé González

¹División Académica de Ciencias Básicas, Universidad Juárez Autónoma de Tabasco, A.P. 24, C.P. 86690, Cunduacán, Tabasco, México

*mingo_89gon@hotmail.com

En este trabajo se analizan algunas de las propiedades de la entropía topológica de sistemas generados por funciones continuas en el intervalo $[a, b]$. Además, se muestran resultados numéricos obtenidos a partir de la implementación de un algoritmo basado en el número de dobléz de las iteradas de la función.

This paper discusses some properties of the topological entropy systems generated by continuous functions on the interval $[a, b]$. In addition, numerical results are shown from implementation of an algorithm based in the lap number function.

Palabras clave: Entropía, itinerarios, número de dobléz.

Keywords: Entropy, kneading sequences, lap number.

Introducción

El concepto de entropía fue introducido por el Físico-Matemático Clausius Rudolf Emmanuel en 1865, y establece que la energía no sólo puede medirse en cantidad, sino también en calidad; a mayor entropía, menor calidad de la energía y mayor tendencia al caos.

En matemáticas, este concepto fue introducido con la finalidad de medir la complejidad de un sistema. Usando la similitud con la física, se propone que el incremento en el desorden de las órbitas de un sistema tenga asociado el incremento de su entropía, por lo que un sistema se dice que es caótico cuando éste tiene entropía positiva. Para calcular la entropía de un sistema de órbitas generado por las iteradas de una función, se han desarrollado diferentes herramientas a partir de los itinerarios de los valores críticos de la función, [3, 2, 5]. En este trabajo se define y se presentan algunas de las propiedades de la entropía topológica de funciones continuas en el intervalo $[a, b]$. Además, se muestran resultados numéricos obtenidos a partir de la implementación en MATLAB de un algoritmo propuesto por [1], el cual está basado en el número de dobléz de las iteradas de la función.

***Dirección postal:** Carr. Cunduacán-Jalpa Km 1, Cunduacán Tabasco, México. A.P. 24 C.P. 86690. Tel.(+52)914 336-0928. **Correo electrónico:** mingo_89gon@hotmail.com

1. Funciones multimodales

Definición 1.1. Una función continua $f : I = [a, b] \rightarrow I$, es m -modal si existe una sucesión de puntos

$$a = c_0 < c_1 < \dots < c_m < c_{m+1} = b,$$

tal que f es estrictamente monótona en cada intervalo $[c_i, c_{i+1}]$ y alternadamente creciente, decreciente en esos intervalos.

Al número $m + 1$ se le llama *número de doblez* de f y se denota por $\ell(f)$ ¹.

Sea σ una sucesión alternada de signos. Una función m -modal tiene la forma σ , si f restringido a $[c_j, c_{j+1}]$ es creciente cuando $\sigma_j = 1$ o es decreciente cuando $\sigma_j = -1$. Si f es diferenciable, σ_j se identifica con el signo de $f'(x)$ para $x \in (c_j, c_{j+1})$. Se dice que f tiene forma positiva (negativa), si es creciente (decreciente) en $[a, c_1]$.

En la figura 1 se muestra la gráfica de una función 4-modal, con forma positiva y $\ell(f) = 5$.

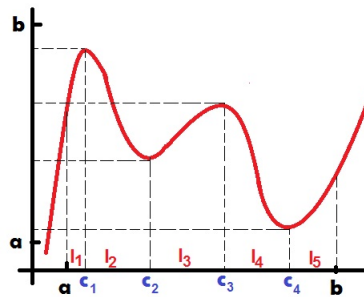


Figura 1. Gráfica de una función 4-modal

Definición 1.2. Se dice que una función m -modal $f : I \rightarrow I$ es de **frontera anclada**, si $f(\{a, b\}) \subseteq \{a, b\}$.

En la figura 2 se muestran los cuatro casos posibles de gráficas de funciones m -modales con frontera anclada. El caso m impar corresponde a las dos gráficas del centro y el caso m par a las gráficas de los extremos.

Para definir el itinerario de una función $f : I \rightarrow I$ m -modal con c_1, c_2, \dots, c_m puntos de doblez, particionemos el intervalo I en $2m + 1$ conjuntos con interior disjuntos

$$I = I_0 \cup C_1 \cup I_1 \cup C_2 \cup \dots \cup C_m \cup I_m,$$

donde C_j es el conjunto $\{c_j\}$ y los conjuntos

$$I_0 = [a, c_1), I_1 = (c_1, c_2), \dots, I_m = (c_m, b],$$

¹del inglés *lap number*

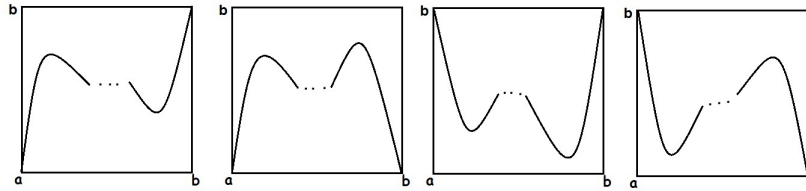


Figura 2. Funciones de frontera anclada

son las componentes conexas de

$$I - \bigcup_{i=1}^m C_i,$$

49 donde la función f no cambia de monotonía.

Ahora tomemos los C'_j s y los I'_j s como símbolos abstractos y formemos el conjunto

$$\mathfrak{U} = \{I_0, C_1, I_1, C_2, \dots, C_m, I_m\}.$$

Definimos un orden natural en \mathfrak{U}

$$I_0 < C_1 < I_1 < C_2 < \dots < C_m < I_m.$$

Definición 1.3. El itinerario de un punto $x \in I$ se define como la sucesión de símbolos $\{A_k(x)\}$ en \mathfrak{U} tal que

$$A_k(x) = \begin{cases} I_j, & \text{si } f^k(x) \in I_j, \\ C_j, & \text{si } f^k(x) = c_j. \end{cases}$$

50 Donde $f^k = f \circ f \circ \dots \circ f$ denota la composición de f consigo misma k veces.

Ejemplo 1.4. Sea $f(x) = 3x(1 - x)$ la función logística de parámetro 3. f tiene la forma $\sigma = (+, -)$ y su único punto crítico es $x = \frac{1}{2}$. Por lo tanto $\mathfrak{U} = \{I_0, C_1, I_1\}$ con $I_0 = [0, \frac{1}{2})$, $I_1 = (\frac{1}{2}, 1]$, $C_1 = \{\frac{1}{2}\}$. Si $x_0 = 0.1$, entonces

$$I(x_0) = I_0 I_0 I_1 I_1 I_1 \dots,$$

51 como se muestra en la figura 3.

Definiremos un orden parcial \preceq en $\mathfrak{U}^{\mathbb{N}}$, apoyándonos del orden natural de \mathfrak{U} , y de una función $\epsilon : \mathfrak{U} \rightarrow \{-1, 0, +1\}$ que se define de acuerdo a la forma σ de la función m -modal, como sigue

$$\epsilon(v) = \begin{cases} \sigma_j, & \text{si } v = I_j \\ 0, & \text{si } v = C_j. \end{cases}$$

Sean $A = (A_0, A_1, A_2, \dots)$ y $B = (B_0, B_1, B_2, \dots)$ sucesiones en $\mathfrak{U}^{\mathbb{N}}$. Diremos que $A \prec B$ si existe un entero k tal que

$$A_i = B_i \quad \text{para } i < k,$$

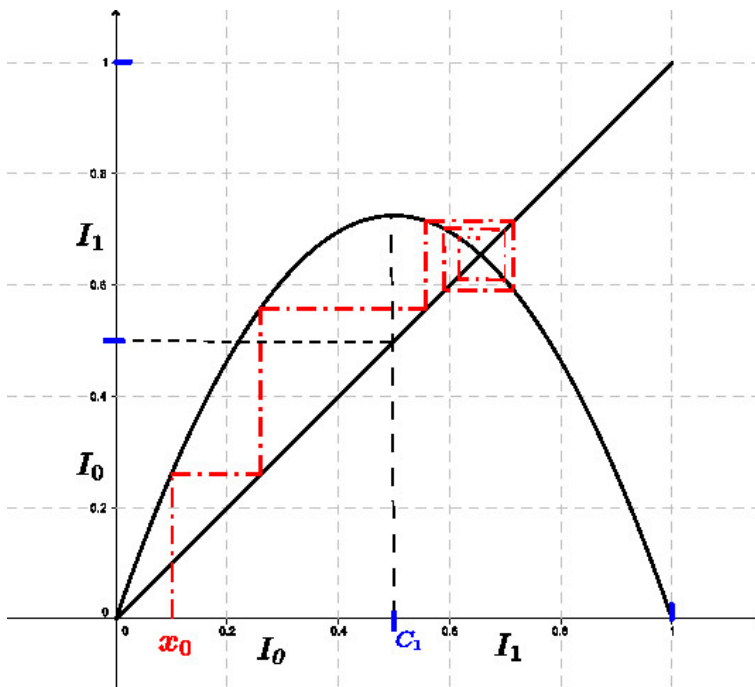


Figura 3. Itinerario para x_0

y

$$A_k < B_k \quad \text{si} \quad \epsilon(A_0)\epsilon(A_1)\dots\epsilon(A_{k-1}) = +1, \text{ o}$$

$$A_k > B_k \quad \text{si} \quad \epsilon(A_0)\epsilon(A_1)\dots\epsilon(A_{k-1}) = -1.$$

52 Si $\epsilon(A_0)\epsilon(A_1)\dots\epsilon(A_{k-1}) = 0$, es decir si $A_i = B_i = C_j$ para $i < k$, y algún
 53 $j \in \{1, 2, \dots, m\}$, el orden no se define.

54

Ejemplo 1.5. Sea f la función del ejemplo 1.4 y sean A, B las siguientes sucesiones:

$$A = I_0I_0I_1I_0I_0\dots \quad \text{y} \quad B = I_0I_0I_1I_1I_1\dots$$

55 Como $A_i = B_i$ para $i = 0, 1, 2$, $A_3 < B_3$ y $\epsilon(I_0)\epsilon(I_0)\epsilon(I_1) = (+)(+)(-) = -$, se
 56 concluye que $B \prec A$.

57 Más generalmente se tiene la siguiente propiedad.

58 **Proposición 1.6.** Sea \preceq el orden en $\mathcal{U}^{\mathbb{N}}$ correspondiente a una función m -modal f , $I(x)$
 59 e $I(y)$ itinerarios de x y y bajo f , respectivamente. Se cumple lo siguiente:

- 60 i) Si $x < y$ entonces $I(x) \preceq I(y)$.
- 61 ii) Si $I(x) \prec I(y)$ entonces $x < y$.

62 **Demostración.** Supongamos que $x < y$ y que $I(x) = A_0A_1A_2\dots \neq I(y) =$
 63 $B_0B_1B_2\dots$ Sea $n \geq 0$ tal que $A_i = B_i$ para $i = 0, 1, \dots, n - 1$ y $A_n \neq B_n$. Co-
 64 mo $A_i = B_i$ para $i = 0, 1, \dots, n - 1$, tenemos que no hay puntos de doblez en los

65 intervalos $[x, y]$, $f([x, y])$, ... $f^{n-1}([x, y])$, pero si existe un punto de doblez c_k en
 66 el intervalo $f^n([x, y])$, por lo que f^n es monótona en el intervalo $[x, y]$. Además, si
 67 $\epsilon(I_0)\epsilon(I_1)\dots\epsilon(I_{k-1})$ es positivo (negativo) f^n es creciente (decreciente) en el intervalo
 68 $[x, y]$.

69 En el caso positivo $x < y \implies f^n(x) \leq f^n(y) \implies A_n \leq B_n$,
 70 en el caso negativo $x < y \implies f^n(x) \geq f^n(y) \implies A_n \geq B_n$,
 71 de donde se concluye que $I(x) \preceq I(y)$.

72 El inciso ii) se demuestra usando el mismo argumento. ◀

73

Dentro de los itinerarios de los puntos del dominio de f , distinguiremos los *itinerarios de los valores críticos*², denotándolos por

$$K_j = I(f(c_j)) \in \mathfrak{U}^{\mathbb{N}},$$

74 los cuales juegan un papel muy importante, en el estudio de la dinámica del sistema.

75 A cada función m – modal se le asocia la m – ada formada por los m itinerarios
 76 de los valores críticos.

$$K(f) = (K_1, K_2, \dots, K_m).$$

77 A este vector de itinerarios le llamaremos el *itinerario principal*³ de la función f .

78 1.1 Sucesiones admisibles

Es importante mencionar que no todas las sucesiones en $\mathfrak{U}^{\mathbb{N}}$, representan el itinerario de algún punto x . Por ejemplo, si $f : X \rightarrow X$ es una función continua, no constante y $c_i \in X$ es un punto crítico que no es punto fijo de f , entonces la sucesión $(C_i C_i C_i \dots)$ no representa un itinerario de f . Lo que es cierto, es que si $x \in I$ y su itinerario está dado por

$$I(x) = A_0 A_1 \dots,$$

79 entonces se debe cumplir:

80

81 **Condición de compatibilidad 1:** Si el símbolo A_k es igual a algún C_j , entonces
 82 la sucesión $(A_{k+1}, A_{k+2}, \dots)$ es igual K_j el *itinerario del valor crítico* $f(c_j)$
 83 En vista de esta condición, es conveniente determinar en la sucesión (A_0, A_1, \dots) el
 84 primer C_j que aparece en ésta.

85 **Condición de compatibilidad 2:** Si $A_k = I_{j-1}$ o $A_k = I_j$, entonces la sucesión
 86 $(A_{k+1}, A_{k+2}, \dots)$ satisface alguna de las siguientes dos condiciones:

$$(A_{k+1}, A_{k+2}, \dots) \leq K_j$$

o

$$(A_{k+1}, A_{k+2}, \dots) \geq K_j,$$

²En inglés *kneading sequences*

³En inglés *kneading data*

87 dependiendo si se tiene un mínimo local $\sigma_j = -1$, o si $\sigma_j = +1$ (se tiene un máximo
88 local).

89 Con estas dos condiciones podemos empezar a caracterizar las sucesiones en $\mathfrak{U}^{\mathbb{N}}$
90 que representan un posible itinerario.

91 **Definición 1.7.** Una sucesión de símbolos $(A_0, A_1, \dots) \in \mathfrak{U}^{\mathbb{N}}$ se dice que es **admi-**
92 **sible** para el *itinerario principal* $K(f) = (K_1, K_2, \dots, K_m) \in (\mathfrak{U}^{\mathbb{N}})^m$, si satisface las
93 condiciones de compatibilidad 1 y 2.

94 2. Entropía topológica

95 En esta sección daremos la definición de entropía topológica en general para una
96 función $f : X \rightarrow X$, con X un espacio topológico compacto y mostraremos algunos
97 resultados que nos permiten calcularla cuando nos restringimos a funciones definidas
98 en un intervalo.

99 **Definición 2.1.** Sea X un espacio topológico compacto. Una cubierta abierta de X
100 es una colección de conjuntos abiertos cuya unión es X . Una cubierta abierta β se
101 dice que es un refinamiento de una cubierta abierta α , si cada conjunto abierto de β
102 se encuentra en un conjunto abierto de α , y se denota por $\alpha < \beta$.

103

104 Se dice que β es una subcubierta de α si cada conjunto abierto de β es un conjunto
105 abierto de α .

106 **Definición 2.2.** Si α y β son dos cubiertas abiertas, su “unión” es la cubierta abierta
107 que consta de todos los conjuntos $A \cap B$ con $A \in \alpha$, y $B \in \beta$, y se denota por $\alpha \vee \beta$.
108 Así $\alpha \vee \beta$ es un refinamiento de las dos cubiertas α y β .

Dado que X es compacto, cada cubierta abierta tiene una subcubierta finita. La entropía de una cubierta abierta α se define como

$$H(\alpha) = \log(N(\alpha)).$$

109 Donde $N(\alpha)$ es el número mínimo de conjuntos abiertos en cualquier subcubierta
110 finita. Evidentemente $H(\alpha) \geq 0$, y la igualdad se da si y solo si, $X \in \alpha$.

111 Sea $f : X \rightarrow X$ una función continua. Para cualquier cubierta abierta α de X ,
112 denotamos por $f^{-n}\alpha$ a la cubierta que consta de los subconjuntos de la forma $f^{-n}(A)$,
113 con $A \in \alpha$, y por α^n al conjunto $\bigvee_{i=0}^{n-1} f^{-i}\alpha$.

A partir de las propiedades de la imagen inversa se obtiene que la sucesión $H(\alpha \vee \dots \vee f^{-n+1}\alpha)$ es una sucesión subaditiva y en consecuencia el límite

$$h(f, \alpha) = \lim_{n \rightarrow \infty} \frac{H(\alpha \vee f^{-1}\alpha \vee \dots \vee f^{-n+1}\alpha)}{n}$$

114 existe.

Al límite $h(f, \alpha)$ se le llama *entropía topológica* de f relativa a la cubierta α , y satisface

$$0 \leq h(f, \alpha) \leq H(\alpha).$$

115 Usando las propiedades de la imagen directa con respecto a la intersección de con-
116 juntos se obtiene la siguiente afirmación
117

118 **Afirmación 2.3.** Si f es un homeomorfismo entonces $h(f^{-1}, \alpha) = h(f, \alpha)$

119 **Demostración.** Para demostrar esta afirmación observemos que

$$\begin{aligned} H(\alpha \vee \dots \vee f^{-n+1}\alpha) &= H(f^{n-1}(\alpha \vee \dots \vee f^{-n+1}\alpha)) \\ &= H(f^{n-1}\alpha \vee \dots \vee \alpha) \\ &= H(\alpha \vee \dots \vee f^{n-1}\alpha) \\ &= H(\alpha \vee (f^{-1})^{-1}\alpha \dots \vee (f^{-1})^{-n+1}\alpha). \end{aligned}$$

Por lo tanto

$$\begin{aligned} H(f, \alpha) &= \lim_{n \rightarrow \infty} \frac{H(\alpha \vee f^{-1}\alpha \vee \dots \vee f^{-n+1}\alpha)}{n} \\ &= \lim_{n \rightarrow \infty} \frac{H(\alpha \vee (f^{-1})^{-1}\alpha \dots \vee (f^{-1})^{-n+1}\alpha)}{n} \\ &= H(f^{-1}, \alpha). \end{aligned}$$

120 ◀
121

Definición 2.4. Sea $f : X \rightarrow X$, al número

$$h(f) = \sup_{\alpha} h(f, \alpha)$$

122 se le llama **entropía topológica** de f , donde el supremo se toma sobre todas las
123 cubiertas abiertas de X .

124 2.1 Entropía de funciones en el intervalo

125 En este apartado nos restringimos al caso en que $X = I$ es un intervalo compacto y
126 mostraremos algunos resultados que permiten calcular la entropía en este caso. Estos
127 resultados pueden ser consultados y ampliados en [2].

Proposición 2.5. Sea $f : I \rightarrow I$ una función continua. Si existen intervalos cerrados disjuntos J_1, \dots, J_p tales que

$$J_1 \cup \dots \cup J_p \subseteq f(J_i) \quad i = 1, \dots, p$$

128 entonces $h(f) \geq \log p$.

Demostración. Como los J_i son disjuntos podemos elegir intervalos abiertos disjuntos por pares G_1, \dots, G_p con $J_i \subset G_i$ para $i = 1, \dots, p$. Podemos tomar intervalos abiertos G_{p+1}, \dots, G_q , que satisfagan $G_i \cap J_k = \emptyset$ para $p+l \leq i \leq q$ y $1 \leq k \leq p$, de modo que obtengamos una cubierta abierta finita α .

Para cualquier entero positivo n y cualquier i_k con $1 \leq i_k \leq p$ el conjunto

$$J_{i_1 \dots i_n} = \{x : x \in J_{i_1}, f(x) \in J_{i_2}, \dots, f_{n-1}(x) \in J_{i_n}\}$$

129 es no vacío. Cada punto de este conjunto está contenido en un único elemento de
 130 $\alpha \vee f^{-1}\alpha \vee \dots \vee f^{-n+1}\alpha$, a saber,

$$G_{i_1} \cap f^{-1}(G_{i_2}) \cap \dots \cap f^{-n+1}(G_{i_n}).$$

De donde se obtiene que

$$H(\alpha \vee f^{-1}\alpha \vee \dots \vee f^{-n+1}\alpha) \geq n \log p.$$

131 Por lo tanto $h(f, \alpha) \geq \log p$ y en consecuencia, $h(f) \geq \log p$. ◀

132

133 Una forma sencilla y útil para calcular la entropía de funciones monótonas por
 134 piezas de un intervalo en si mismo, lo proporciona el siguiente resultado.

Proposición 2.6. Si $f : I \rightarrow I$ es una función continua monótona por piezas, entonces

$$h(f) = \lim_{n \rightarrow \infty} \frac{\log \ell(f^n)}{n},$$

135 donde $\ell(f^n)$ es el número de dobles de f^n .

Demostración. Existe una cubierta $\alpha = \alpha(n)$ de I que consiste exactamente de $\ell(f^n)$ intervalos disjuntos y en cada uno de ellos f^n es monótona.

Para cada entero positivo j ,

$$c_j(\alpha, f^n) \leq (\ell(f^n))^j,$$

y en consecuencia

$$\frac{\log c_j(\alpha, f^n)}{j} \leq \log \ell(f^n).$$

Por lo tanto $h(f) = \frac{h(f^n)}{n} \leq \frac{\log \ell(f^n)}{n}$ para cada entero positivo n , y en consecuencia

$$h(f) \leq \lim_{n \rightarrow \infty} \frac{\log \ell(f^n)}{n}.$$

136 Por otro lado, sea γ la colección de intervalos abiertos máximos en los que f
 137 es monótona, y sea δ la colección de puntos que son extremos de estos intervalos.
 138 Entonces $\beta = \gamma \cup \delta$ es una cubierta de I que consiste de $2k_1 + 1$ intervalos disjuntos.
 139 Sea n un entero positivo y J un intervalo máximo en el que f^n es monótona. Para
 140 cada $i = 1, \dots, n$ existe un único elemento A_i de γ tal que $f^{i-1}(J) \subseteq A_i$. Entonces
 141 $\{A_1, \dots, A_n\}$ es una cadena en β^n . De su maximalidad se sigue que los intervalos

142 máximos distintos en los cuales f^n es monótona corresponden a elementos distintos
 143 de β^n . Así $\ell(f^n) \leq c_n(\beta, f)$ para cada entero positivo n , y por lo tanto

$$\lim_{n \rightarrow \infty} \frac{\log \ell(f^n)}{n} \leq h^*(f, \beta) = h(f).$$

144 ◀
 145

146 En el siguiente ejemplo se muestra el cálculo de la entropía usando el número de
 147 dobles $\ell(f^n)$.

Ejemplo 2.7. Sea $I = [0, 1] \subset \mathbb{R}$, y $T : I \rightarrow I$, definida con la siguiente regla de correspondencia

$$T(x) = \begin{cases} 2x, & \text{si } 0 \leq x \leq \frac{1}{2} \\ 2(1-x), & \text{si } \frac{1}{2} \leq x \leq 1 \end{cases}$$

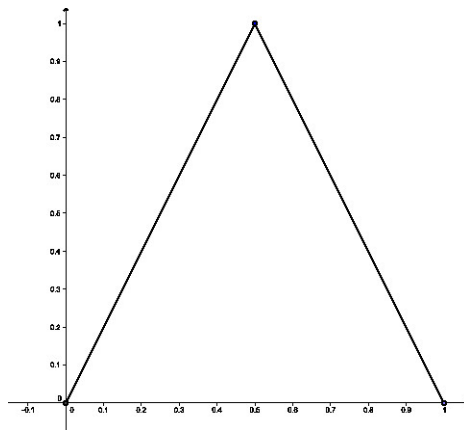


Figura 4. Gráfica de la función T

148 A la función T se le conoce como la función tienda, por la forma de su gráfica
 149 (véase la figura 4).

150 Notemos que $\ell(T^2) = 2^2$ y $\ell(T^3) = 2^3$, como lo muestra la figura 5 y por inducción
 151 se obtiene que $\ell(T^n) = 2^n$. Usando el teorema 2.6 se tiene que

$$\begin{aligned} h(T) &= \lim_{n \rightarrow \infty} \frac{\log(2^n)}{n} \\ &= \lim_{n \rightarrow \infty} \frac{n \log(2)}{n} \\ &= \log(2). \end{aligned}$$

$$T^2(x) = \begin{cases} 2^2x, & \text{si } 0 \leq x \leq \frac{1}{4} \\ 2(1 - 2x), & \text{si } \frac{1}{4} \leq x \leq \frac{1}{2} \\ 2(2x - 1), & \text{si } \frac{1}{2} \leq x \leq \frac{3}{4} \\ 2^2(1 - x), & \text{si } \frac{3}{4} \leq x \leq 1 \end{cases}$$

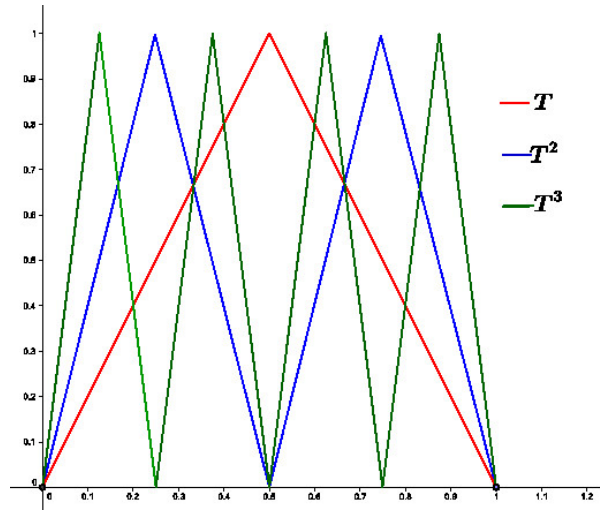


Figura 5. Gráfica de T , T^2 , y T^3

152 **2.2 Entropía e itinerario principal**

153 En esta sección se muestra la relación entre la entropía topológica y las sucesiones
 154 admisibles. Además se mostrará que la entropía de una función f , está determinada
 155 por el itinerario principal.

156 Para una función m -modal denotamos por $Adm(f, k)$ al número de sucesiones
 157 acrícticas (sucesiones que no contienen C_j) de longitud k que son admisibles. En el
 158 caso de funciones de frontera anclada, este número se relaciona con el número de
 159 dobles y la cubierta $\bigvee_{i=0}^{k-1} f^{-i}\mathcal{U}$ de la siguiente manera,

Lema 2.8. Sea $f : I \rightarrow I$ una función m -modal de frontera anclada, entonces

$$\ell(f^k) \leq Adm(f, k) \leq card \left(\bigvee_{i=0}^{k-1} f^{-i}\mathcal{U} \right). \tag{1}$$

160 **Demostración.** Para verificar la primera desigualdad, sea $m = \ell(f^k)$, es decir f^k
 161 tiene m subintervalos I_i donde f^k no cambia de monotonía. Si tomamos $x_i \in I_i$, se
 162 tiene que $\{A(f^j(x_i)) : j = 0, \dots, k - 1\}$ es una sucesión admisible de longitud k , y en
 163 consecuencia $\ell(f^k) \leq Adm(f, k)$.

164 Por otro lado, si A_0, \dots, A_{k-1} es una sucesión admisible de longitud k , entonces
 165 $\bigcap_{i=0}^{k-1} f^{-i} A_i$ es un elemento de la cubierta $\bigvee_{i=0}^{k-1} f^{-i}\mathcal{U}$, por lo que $Adm(f, k) \leq card(\bigvee_{i=0}^{k-1} f^{-i}\mathcal{U})$.
 166 ◀

167
 168 Observemos que el lema anterior, nos garantiza la desigualdad (1) para el caso de
 169 funciones de frontera anclada. Cuando la función no es de frontera anclada, se puede
 170 extender a una función de este tipo, con el mismo itinerario principal. El siguiente
 171 resultado lo demostraremos para el caso cuando f tiene la frontera anclada, pero es
 172 válido en general para funciones m -modales [5].

173 **Teorema 2.9.** Si $f : I \rightarrow I$ es una función m -modal, entonces la entropía topológica de f está determinada por su itinerario principal.
174

175 **Demostración.** Este resultado lo demostraremos para el caso cuando f tiene la frontera anclada, el caso general para funciones m -modales se puede consultar en [5].
176
177

178 Supongamos que f es de frontera anclada y recordemos que las sucesiones admisibles están determinadas por el itinerario principal de f .
179
180

Como la función logaritmo natural es creciente, de la ecuación (1) del lema 2.8 se obtiene

$$\lim_{k \rightarrow \infty} \frac{\log \ell(f^k)}{k} \leq \lim_{k \rightarrow \infty} \frac{\log \text{Adm}(f, k)}{k} \leq \lim_{k \rightarrow \infty} \frac{\log \text{card}(\bigvee_{i=0}^{k-1} f^{-1}\mathfrak{U})}{k}.$$

Es decir

$$h(f) \leq \lim_{k \rightarrow \infty} \frac{\log \text{Adm}(f, k)}{k} \leq h(f, \mathfrak{U}) \leq h(f).$$

De donde se obtiene que

$$h(f) = \lim_{k \rightarrow \infty} \frac{\log \text{Adm}(f, k)}{k}.$$

181 Esto nos dice, que la entropía de una función f de frontera anclada, está determinada por su itinerario principal.
182

183 ◀
184

185 3. Resultados numéricos

186 En esta sección se muestran algunos cálculos numéricos de entropía de funciones.
187 Los resultados se obtuvieron de la implementación en MATLAB del algoritmo
188 publicado en [1], el cual está basado en la proposición 2.6.

189 Sea $f_v(x) = 4vx(1-x)$ $0 < v \leq 1$, la familia de funciones logísticas. Esta familia
190 tiene un único punto crítico, $c = \frac{1}{2}$, y el valor crítico es v . Además, esta familia
191 presenta bifurcaciones a medida que crece el parámetro v .

192 En la parte inferior de la figura 6 se muestra la gráfica de $h(f_v)$ para $0 < v \leq 1$
193 y en la parte superior se muestra el diagrama de órbitas atractoras existentes en
194 la familia (diagrama de bifurcación). En el diagrama se puede observar que cuando
195 $v < \frac{3}{4}$ existe un punto fijo atractor, seguidamente aparece una órbita de periodo 2
196 atractora la cual se bifurca y da origen a una órbita de periodo 4, y así sucesivamente
197 hasta llegar al parámetro de Feigenbaum ($v_F \approx 0.8925 \dots$), a partir del cual aparecen
198 órbitas atractoras de periodo diferentes a 2^n .

199 En la figura 7, se muestra un acercamiento de la gráfica de la función entropía y
200 del diagrama de bifurcación.

201 Para mostrar el comportamiento de la entropía en funciones m -modales, tomemos
202 la familia de funciones $f_{wv} = f_w \circ f_v$, en la cual existen parámetros donde las funciones

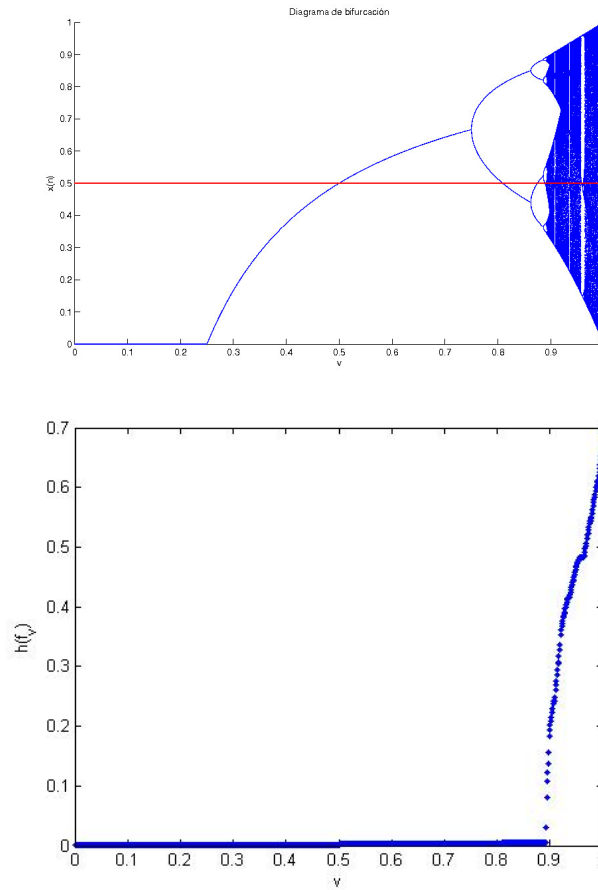


Figura 6. Diagrama de bifurcación y gráfica de h , para la familia logística.

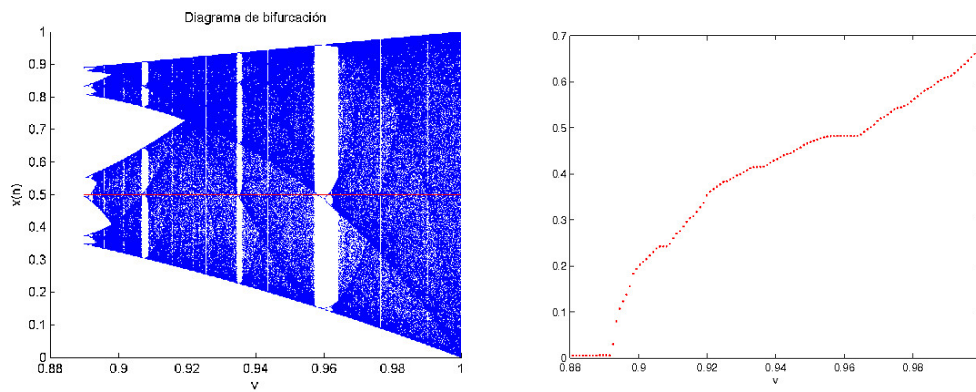


Figura 7. Diagrama de bifurcación y función entropía.

203 son unimodales, o tres modales, pero todas tienen en común el punto crítico $c = \frac{1}{2}$.
 204 Estos modelos fueron usados por Kot y Schaffer [4] para estudiar el crecimiento de
 205 poblaciones que se reproducen en dos estaciones del año.

206 Para calcular la entropía de f_{wv} se toma una malla en el dominio, con tamaño de
 207 paso $\frac{1}{2^{10}}$, y una condición de paro (error) de $\epsilon = 10^{-5}$. Los resultados obtenidos se
 208 pueden observar en las figura 8, los cuales muestran el comportamiento creciente de
 209 la entropía, alcanzando su valor máximo en el parámetro (1, 1). En la figura 9, se
 210 muestra un acercamiento de la función entropía y de las curvas de nivel en la región
 significativa.

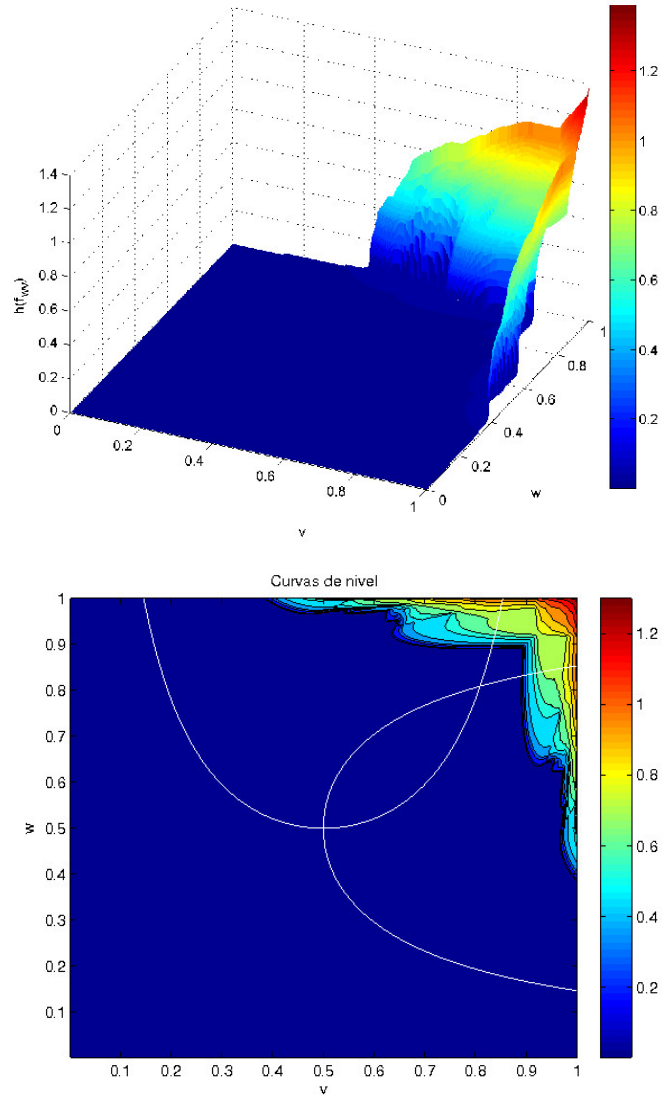


Figura 8. Gráfica de h y curvas de nivel en el espacio de parámetros.

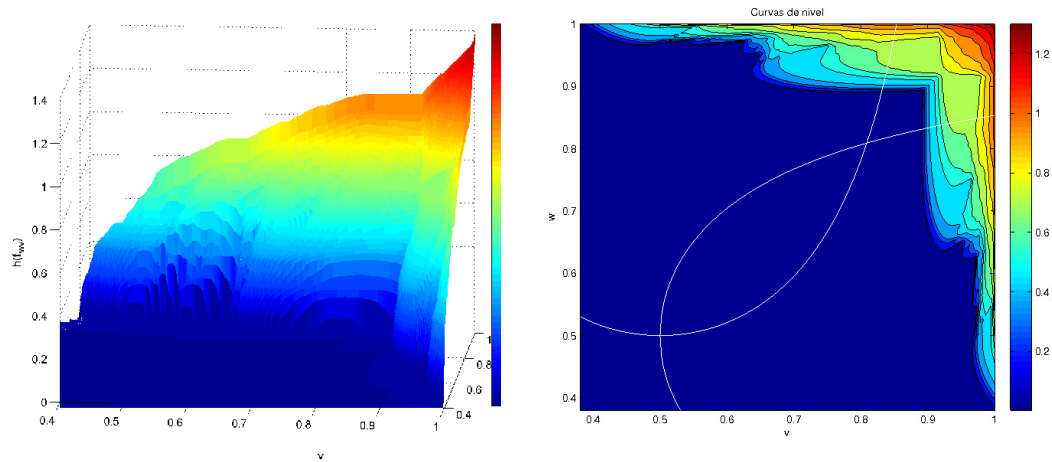


Figura 9. Función entropía y curvas de nivel.

212 4. Conclusiones

213 En la figura 6 se puede observar que en los parámetros menores al Feigenbaum
 214 ($v_F \approx 0.8925 \dots$), el valor que se obtiene es menor que 10^{-3} . Análiticamente es
 215 conocido que el valor de la entropía para estos parámetros es cero [2, 3], por lo que
 216 el valor obtenido numéricamente corresponde al error cometido en la aproximación.

217 Para parámetros mayores a v_F , el valor de la entropía es positiva y además es
 218 creciente hasta alcanzar el valor $\log(2)$, el cual corresponde a la entropía del parámetro
 219 $v = 1$. En otras palabras, después del parámetro v_F se presenta el caos en la familia
 220 logística.

221 La familia logística es un ejemplo de familia unimodal y como solo hay un punto
 222 crítico la entropía está determinada por la órbita de éste. En la figura 8 se muestra la
 223 entropía de una familia 3-modal, la cual resulta de la composición de dos logísticas.
 224 Allí se puede observar que la entropía en el cuadrado $[0, v_F] \times [0, v_F]$ sigue siendo cero,
 225 por lo que en ese conjunto de parámetros no existe el caos. Por otro lado se puede
 226 observar que en el cuadrado $[v_F, 1] \times [v_F, 1]$ la entropía es positiva por lo que la com-
 227 posición de dos funciones caóticas genera una función caótica. Por último podemos
 228 observar que en el rectángulo $[v_F, 1] \times [0, v_F]$ se tiene tanto entropía cero como positiva
 229 esto implica que la composición de una función caótica con una ordenada (entropía
 230 cero) puede dar como resultado caos u orden.

231 Referencias

- 232 [1] J. M. Amigó y A. Giménez (2014). *A simplified Algorithm for the Topological Entropy*
 233 *of Multimodal Maps*. Entropy 2014, 16, 627-644.
- 234 [2] L. S. Block y W.A. Coppel. (1991). *Dynamics in One Dimension*. Springer Verlag, New
 235 York.
- 236 [3] W. de Melo and S. van Strien (1993). *One-dimensional dynamics*, Springer, Berlin.

- 237 [4] M. Kot, W.M. Schaffer (1984). *The effects of seasonality on discrete models of population*
238 *growth*. Theor. Pop. Biol, **26**, **340-360**.
- 239 [5] J. Milnor and C. Tresser, (2000). *On entropy and monotonicity for real cubic maps*,
240 Commun. Math Phys., **209**, 123-178.